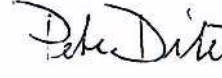


## PEVNOSTNÍ ANALÝZA NOSNÉ KONSTRUKCE SKLENÍKU

No. B / 982205/ 175

Autor: Ing. Petr DÍTĚ 

Adresa: ZPS - SYSTEMS, a.s.  
Jihlavská 1007  
591 01 Žďár nad Sázavou

Tel. / Fax.: 0616 284 35 / 231 98





## OBSAH

|                             |   |
|-----------------------------|---|
| 1. FORMULACE PROBLÉMU.....  | 3 |
| 2. ANALÝZA.....             | 3 |
| 2.1 GEOMETRIE MODELU.....   | 3 |
| 2.2 STRUKTURÁLNÍ MODEL..... | 3 |
| 2.3 MATERIÁLOVÁ DATA.....   | 4 |
| 2.4 TYP ANALÝZY.....        | 4 |
| 3. VÝSLEDKY .....           | 4 |
| 4. ZÁVĚR .....              | 5 |

APPENDIX A

APPENDIX B

APPENDIX C



## 1. FORMULACE PROBLÉMU

Byla provedena statická analýza nosné konstrukce skleníku pro dvě geometrické varianty L 4,5 a D 4,5 za účelem vyšetření průběhu deformace a napětí dané konstrukce. Následně byla provedena analýza vzpěrné stability konstrukce.

Pro statické analýzy byl použit systém Pro/ENGINEER a Pro/Mechanica.

## 2. ANALÝZA

### 2.1 Geometrie modelu

Geometrie všech součástí byla převzata ve formě výkresové dokumentace. Geometrický model byl vytvořen v systému Pro/ENGINEER, zde byla také provedena komprimace plechů na jejich střednice. Takto upravená geometrie byla převedena za pomocí přímého interface do prostředí systému Pro/Mechanica. V tomto systému byly připraveny všechny výpočtové modely a řešena vlastní analýza.

### 2.2 Strukturální model

Strukturální model pro deformační a napěťovou analýzu celé konstrukce (model L 4,5) se skládá z 12.000 skořepinových prvků, které byly vytvořeny technikou automatického generování prvků. Model D 4,5 obsahuje 9.000 skořepinových prvků. Modelování spojovacích šroubu spojení jednotlivých komponentů sestavy bylo provedeno pomocí modelovací techniky spot weld, ekvivalentní průřez odpovídá průřezu reálného šroubu.

#### ZATÍŽENÍ:

Na konstrukci byly aplikovány následující zatížení:

1. Zatížení konstrukce skleníku se skly vlastní tíhou a sněhem dle ČSN 73 0035
2. Zatížení konstrukce skleníku se skly vlastní tíhou a větrem dle ČSN 73 0035 - čelo
3. Zatížení konstrukce skleníku se skly vlastní tíhou a větrem dle ČSN 73 0035 – bok

Dle ČSN 73 0035 byly nalezeny pro tento typ konstrukce následující hodnoty zatížení :

Normálné zatížení sněhem na 1 m pro IV sněhovou oblast .....  $s = 1,5 \text{ kN/m}$

Základní tlak větru v rovné krajině pro nízké a lehké stavby .....  $\omega = 1,25 \text{ kN/m}^2$

#### OKRAJOVÉ PODMINKY:

Model L 4,5 : Vlastní uložení konstrukce skleníku bylo realizováno ukotvením na ploše kontaktu konstrukce skleníku s betonovým základem.

Model D 4,5 : Vlastní uložení konstrukce skleníku bylo realizováno ukotvením na ploše kontaktu konstrukce skleníku s betonovým základem a opřením v horizontálním směru na nástěnném sloupku.

### 2.3 Materiálová data

Konstrukce se skládá z ocelových plechů a z dílů ze skla. Toto členění bylo vprovedených analýzách respektováno.

Pro všechny ocelové komponenty byly použity materiálové charakteristiky standardní ocele:

$$E = 2,1 \text{ e} 5 \text{ MPa}$$

Youngův modul pružnosti

$$\mu = 0,3$$

Poissonova konstanta

$$\rho = 7,8 \text{ e-}6 \text{ kg mm}^{-3}$$

hustota

Pro všechny komponenty ze skla byly použity následující materiálové charakteristiky:

$$E = 7 \text{ e} 5 \text{ MPa}$$

Youngův modul pružnosti

$$\mu = 0,23$$

Poissonova konstanta

$$\rho = 1,85 \text{ e-}6 \text{ kg mm}^{-3}$$

hustota

### 2.4 Typ analýzy

Byla použita standardní strukturální studie pro zjištění napětí a deformací. Pro vyšší přesnost výsledků bylo použito approximačních polynomů osmého stupně. Konvergence byla nastavena pod 10%.

Pro určení kritického faktoru přetížení konstrukce byla použita standardní analýza vzpěrné stability. V tomto případě byl určen první tvar ztráty vzpěrné stability a jemu odpovídající kriticky faktor přetížení konstrukce pro profil výztuhy podpěry a výztuhy dolní, které jsou významně namáhány na tlak.

## 3. VÝSLEDKY

Kompletní výsledky provedených analýz jsou uvedeny v appendixech A,B, C.

Průběhy sledovaných veličin jsou nejlépe patrné z příslušných grafických znázornění. Většina obrázků je pořízena ve zdeformovaném stavu s násobnou velikostí deformace.

Následující tabulka sumarizuje a srovnává maximální hodnoty sledovaných veličin pro jednotlivé varianty.

|  | Varianta L 4,5 | Varianta D 4,5 |
|--|----------------|----------------|
| Max. Deformace [mm]                    | 39             | 18             |
| Max. Von Mises redukované napětí [Mpa] | 80             | 70             |
| Maximální hlavní napětí [Mpa]          | 110            | 90             |





## 4. ZÁVĚR

Závěrem lze konstatovat:

- Maximální deformace rámu skleníku 39 mm je v místě dveří na čelní stěně skleníku, proto doporučuji provést vyztužení čelní konstrukce rámu přidáním vzpěr.
- Maximální redukované napětí dosahuje v nominální oblasti přibližně 70-80 MPa, lokalizované špičkové hodnoty v nejvíce zatížených spojích činí asi 110 MPa. Vzhledem k charakteru spojení jsou tato napětí vyhovující. Maximum napětí leží na sloupku štítu, který proto doporučuji vyztužit změnou profilu, nebo zvětšením tloušťky plechu.
- Zjištěné kritické faktory přetížení konstrukce jsou dostatečně vysoké, mezního stavu ztráty stability se tudíž není, pro tento typ konstrukce, nutné obávat.

# **APPENDIX A**

## **SKLENÍK L 4,5**

### **STATICKÁ ANALÝZA**

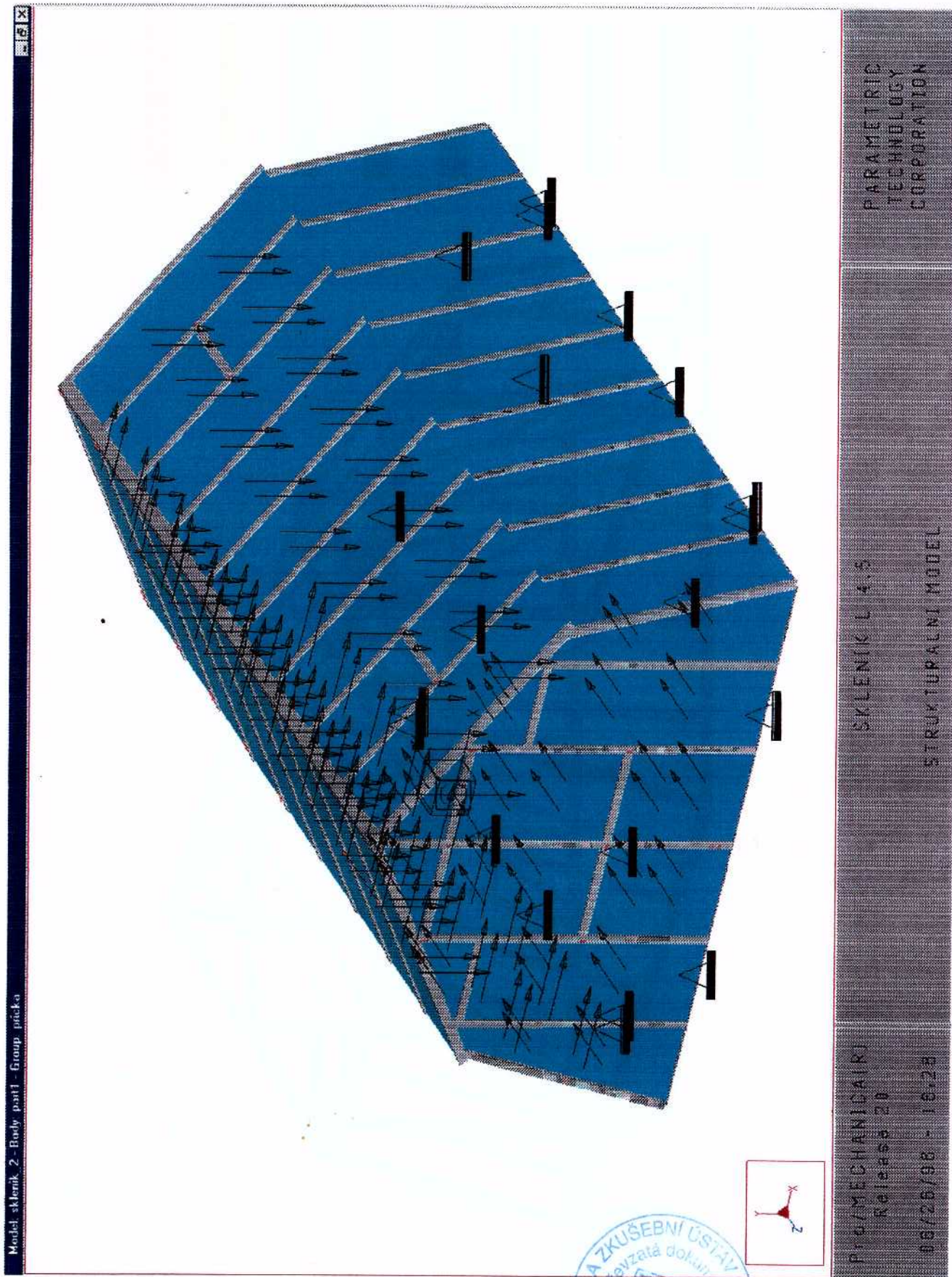
#### **CONTENTS**

**Page :**

|                      |          |
|----------------------|----------|
| Strukturální model   | 2        |
| Deformace            | 4-6-8    |
| Von Mises napětí     | 10-12-14 |
| Max Principal napětí | 16-18-20 |

**Pages :**





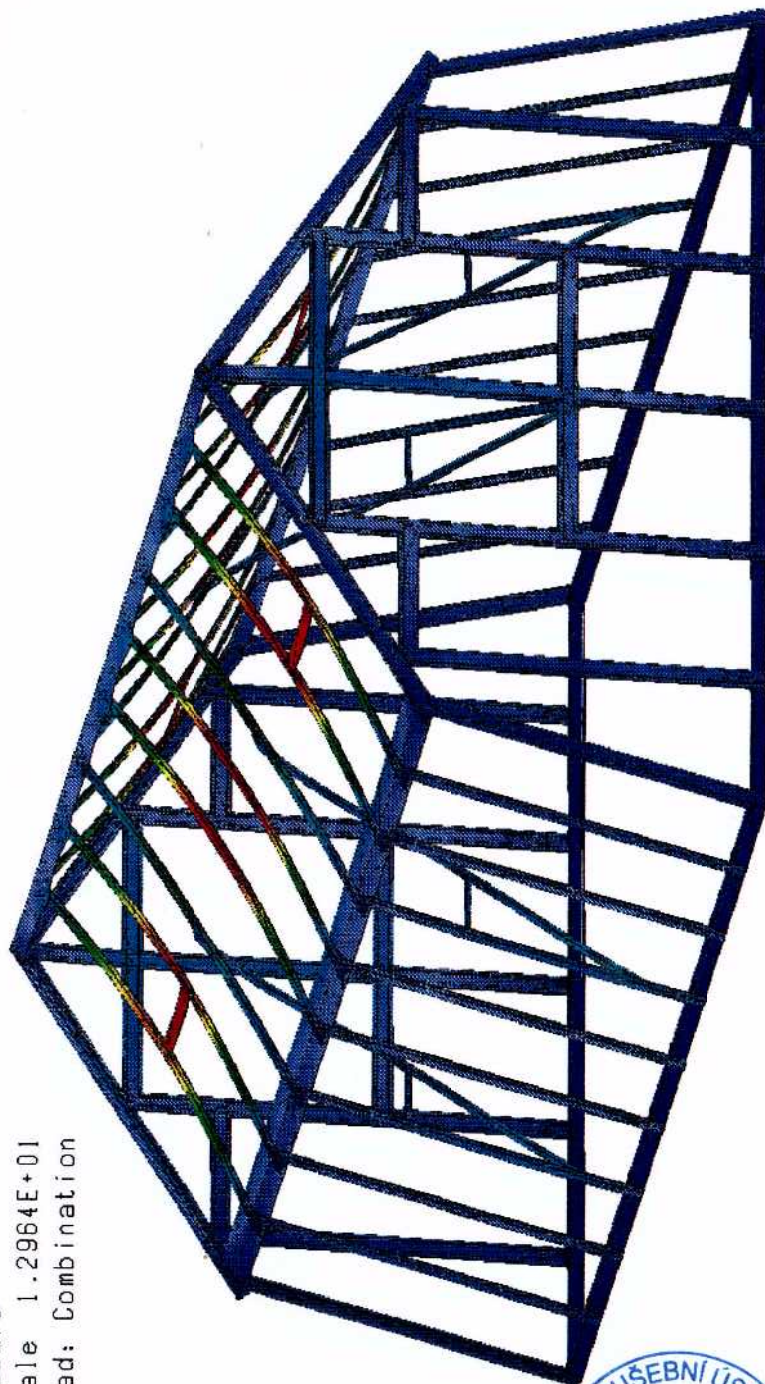


**ZPS**

Computer Systems & Engineering

Result Windows

Displacement Mag  
Max +6.9780E+00  
Min +0.0000E+00  
Measure Scale 1.2964E+01  
Load: Combination



Displacement Magnitude [mm]



PARAMETRIC  
TECHNOLOGY  
CORPORATION

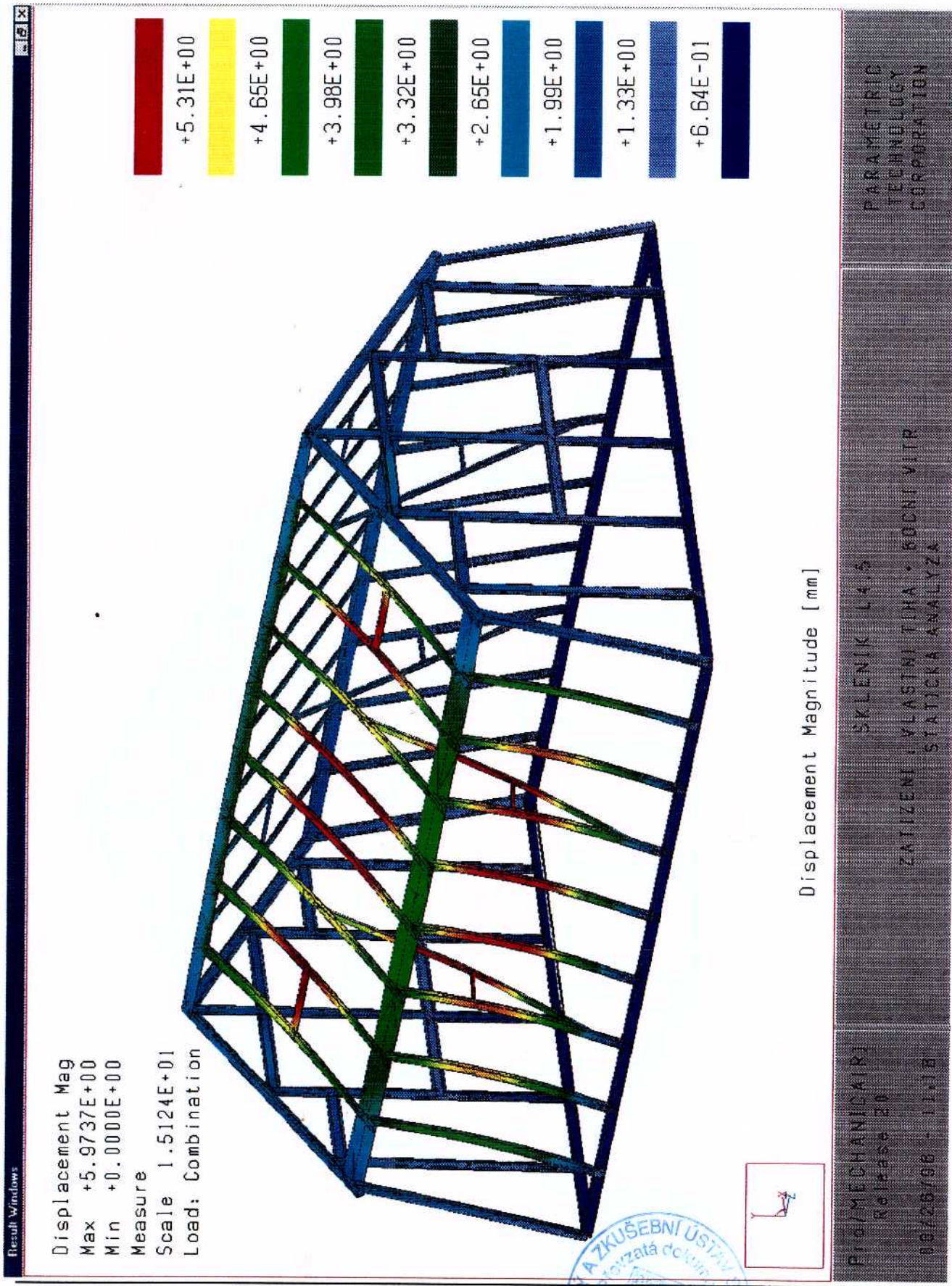
SKLENÍK L 4-5  
ZATEZLÍČNÍ, VLASTNITÍ A  
STAVENÍ ANALÝZA

ČESKÉ MECHEANICKÉ  
TESTOVACÍ STOLEK  
TESTOVACÍ STOLEK  
TESTOVACÍ STOLEK



**ZPS**

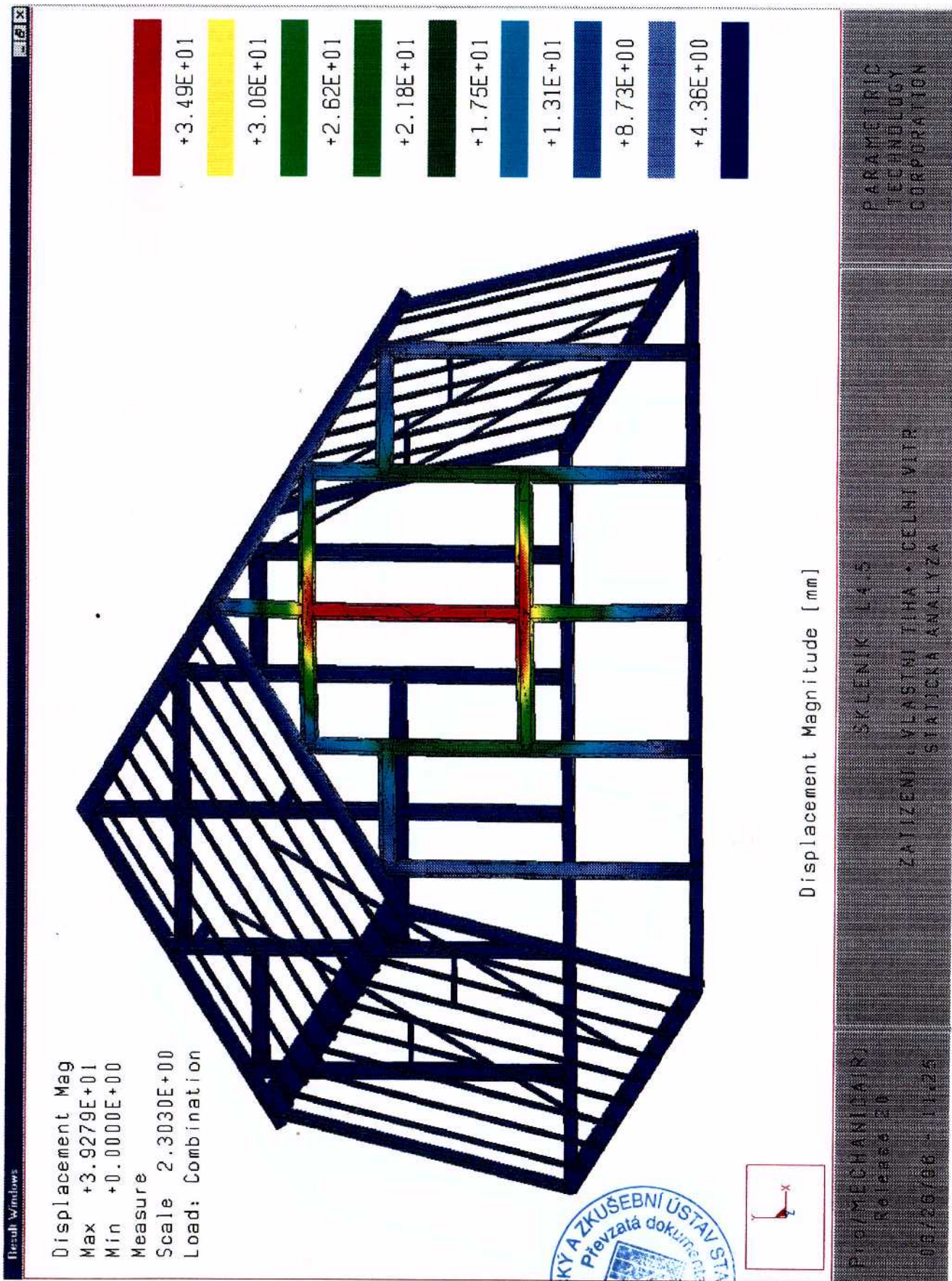
Computer Systems & Engineering





**ZPS**

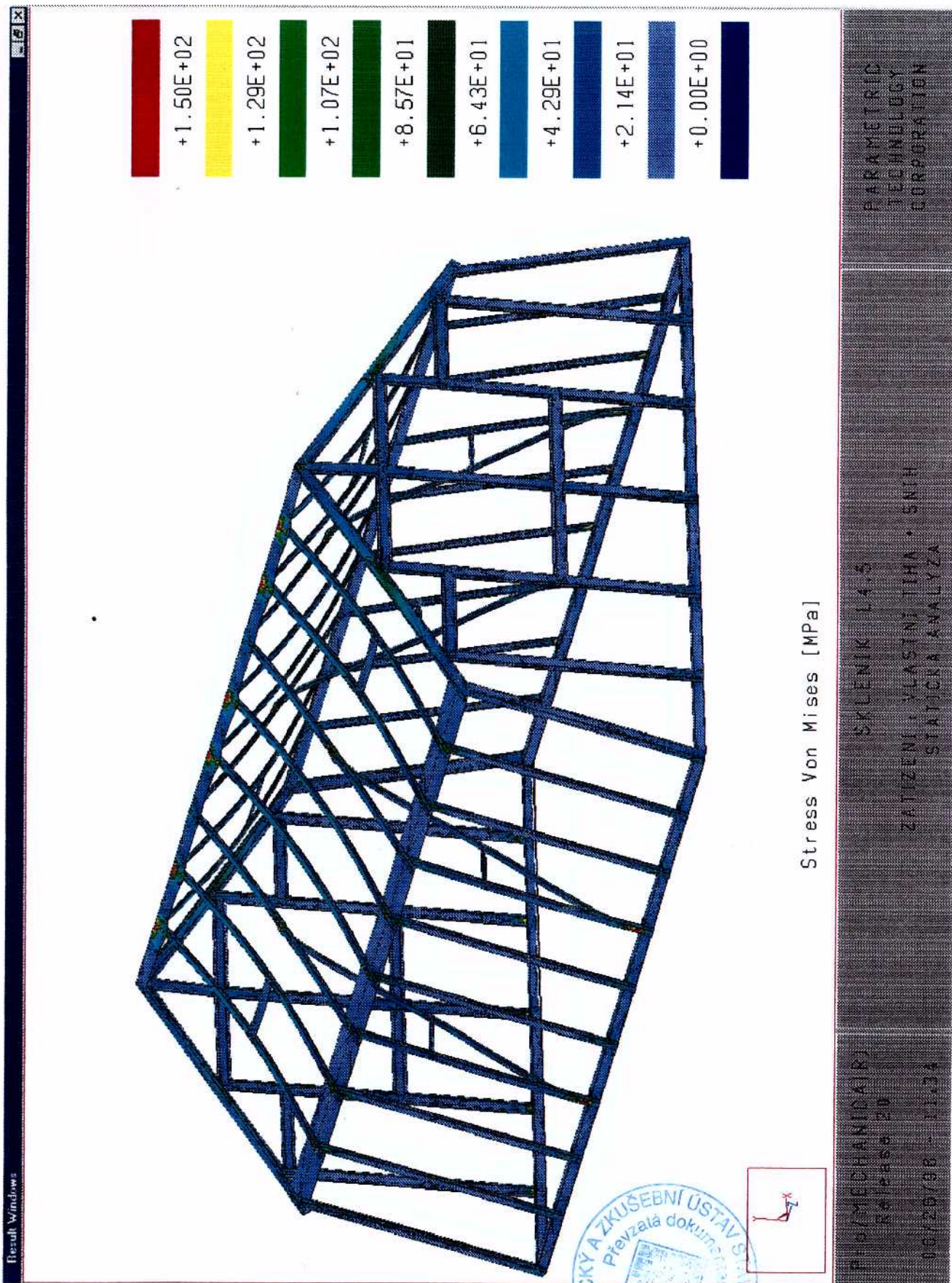
Computer Systems & Engineering





**ZPS**

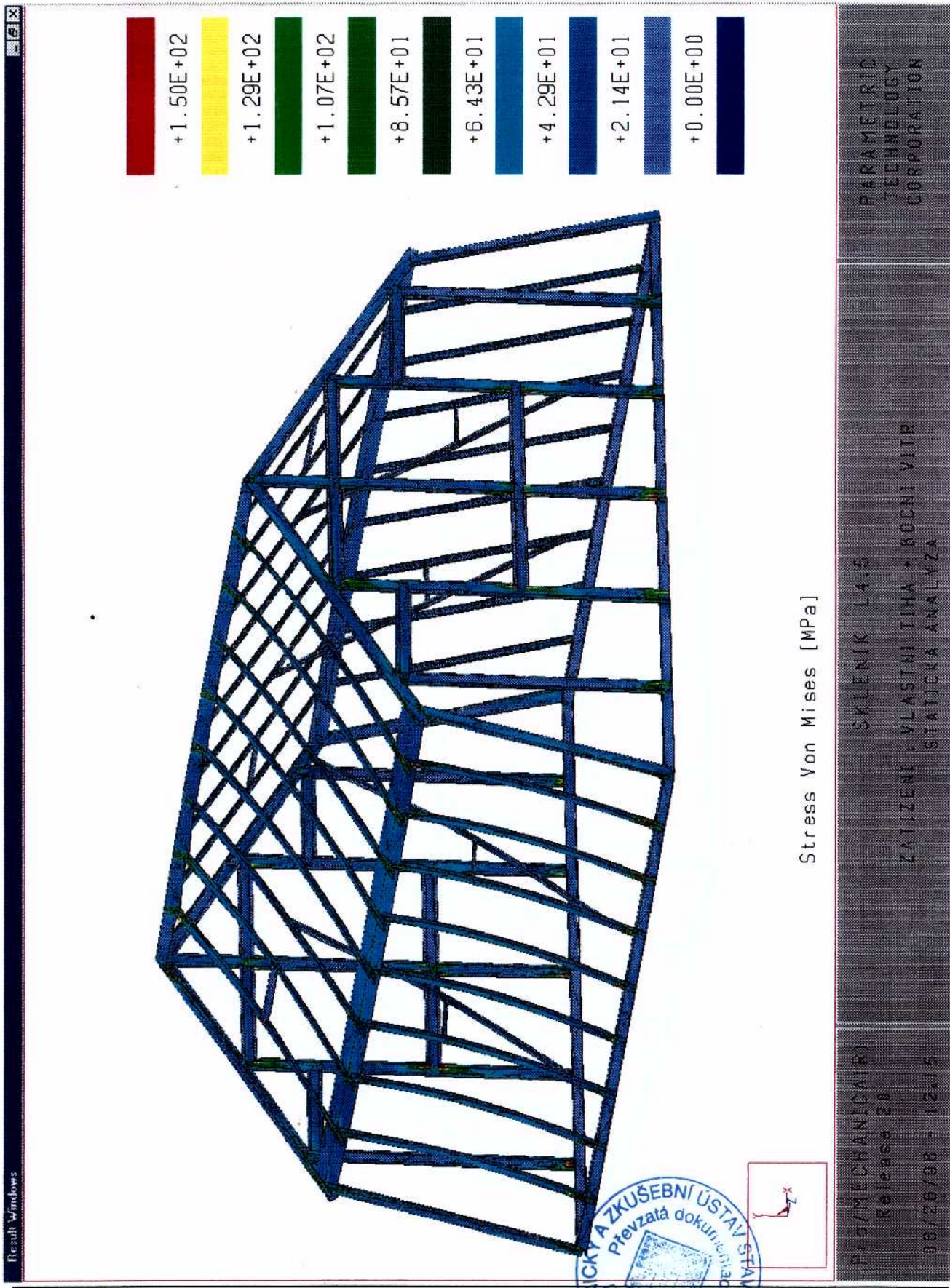
Computer Systems & Engineering

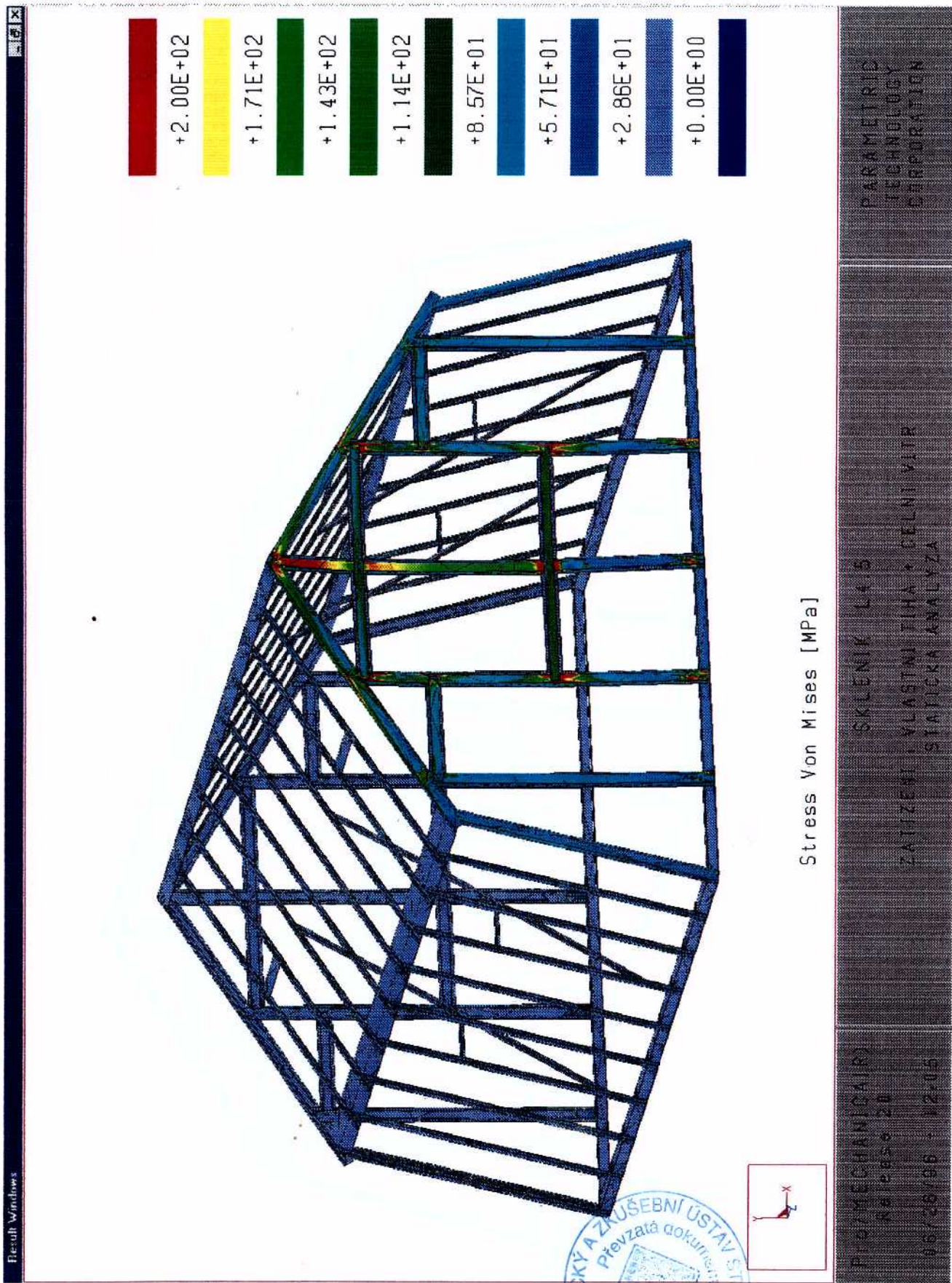




**ZPS**

Computer Systems & Engineering

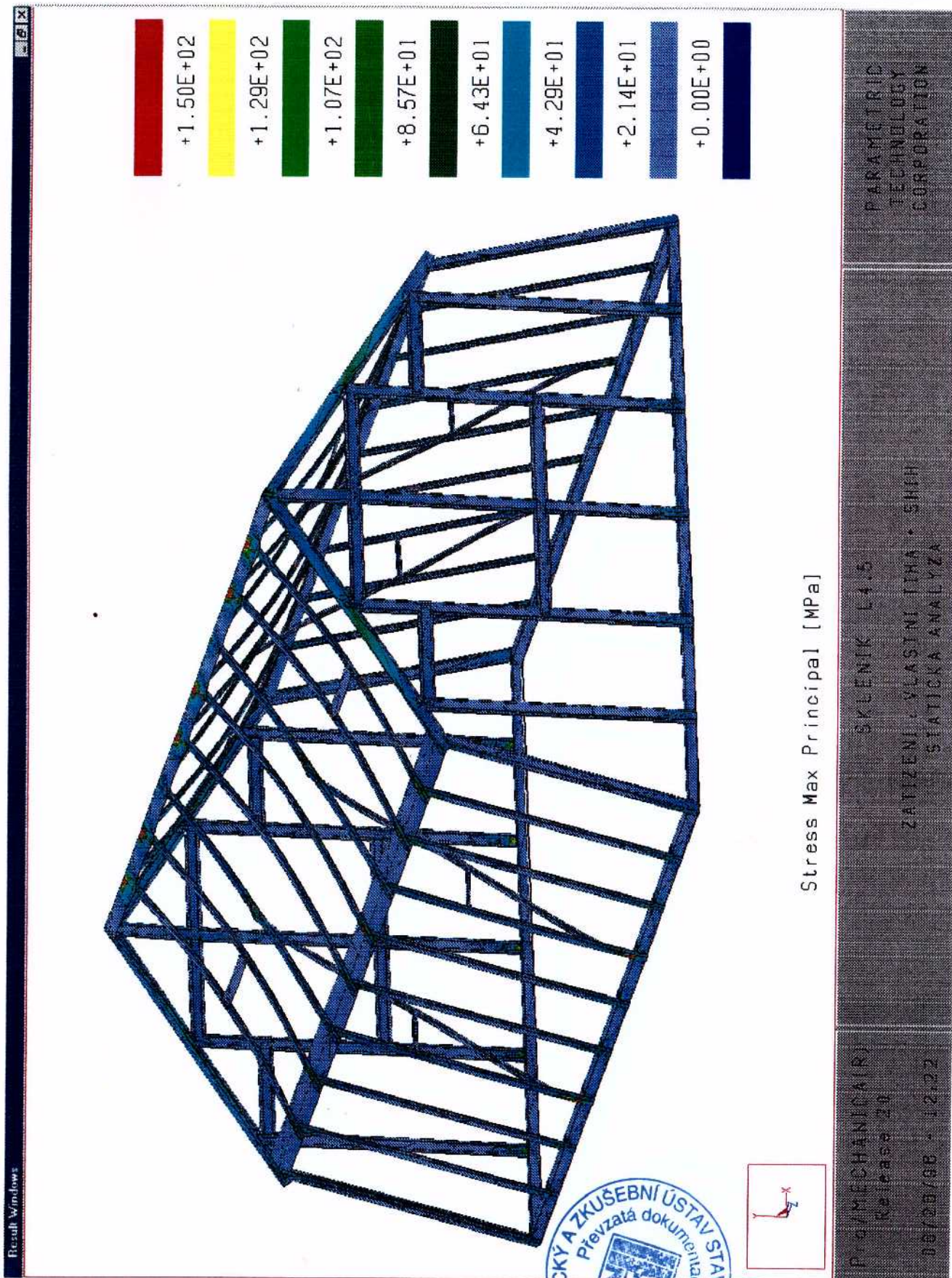


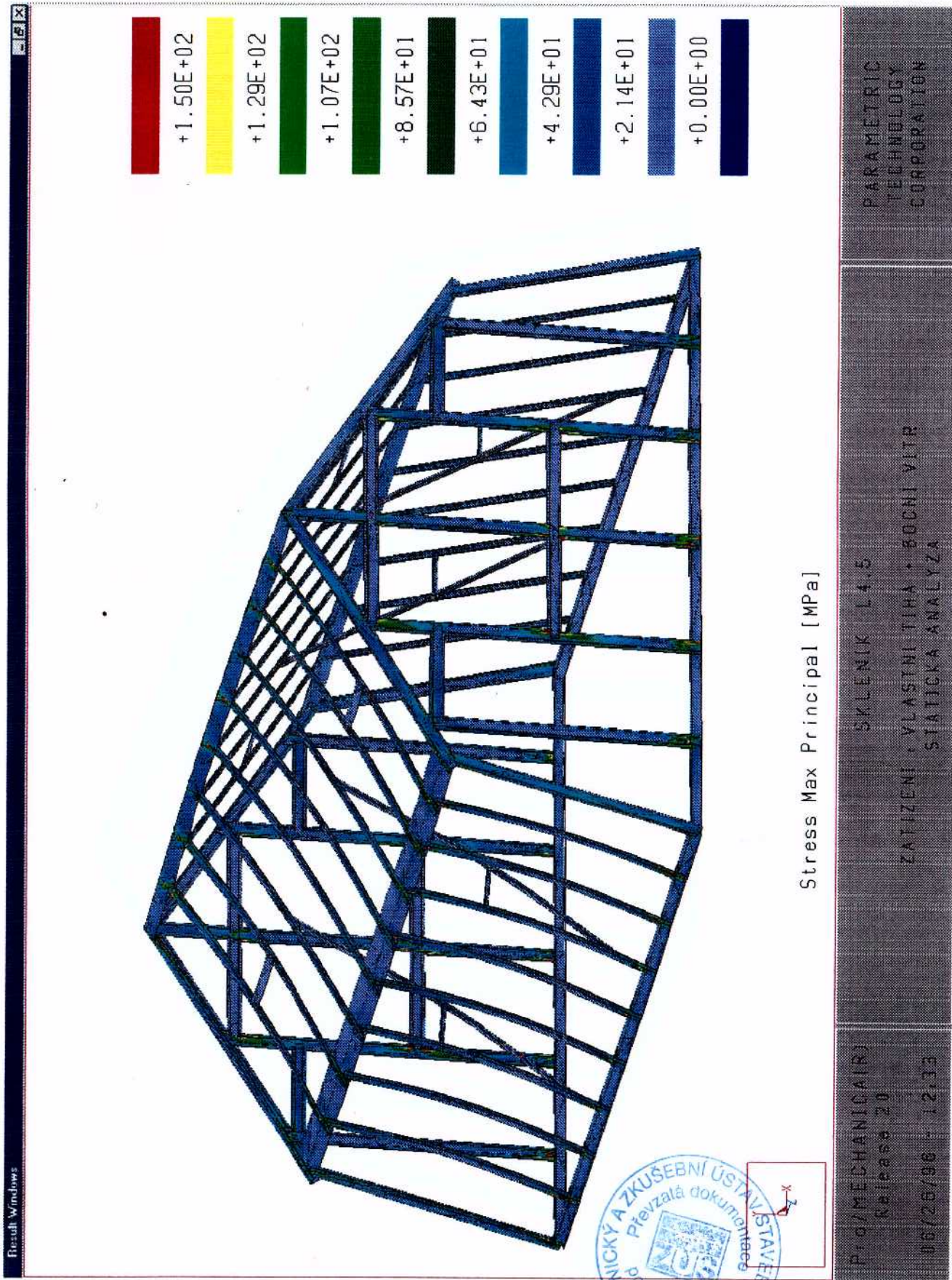


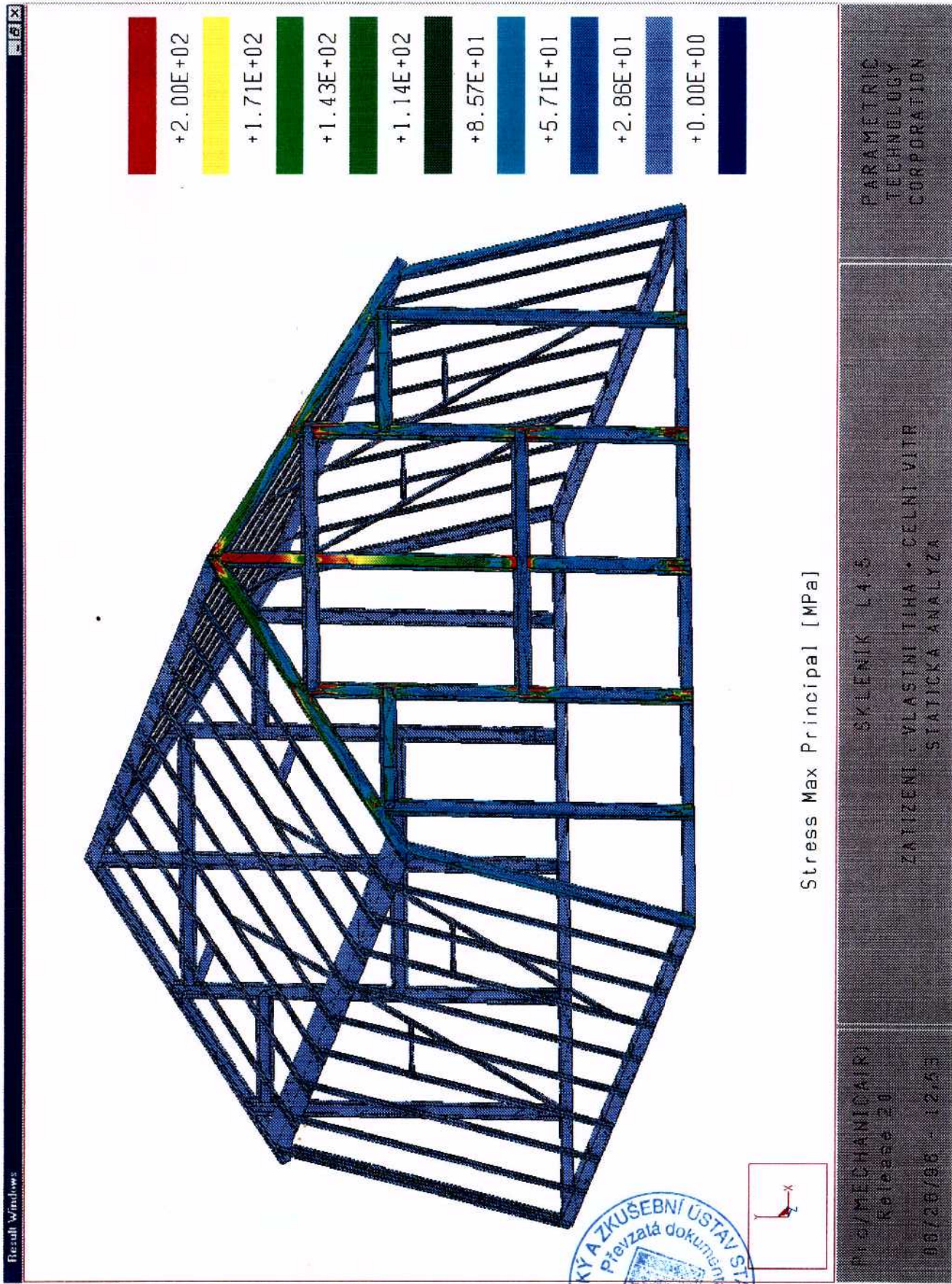


**ZPS**

Computer Systems & Engineering







## **APPENDIX C**

### **ANALÝZA VZPĚRNÉ STABILITY**

#### **CONTENTS**

**Page :**

|                 |   |
|-----------------|---|
| Výztuha dolní   | 2 |
| Výztuha podpěry | 3 |

**Pages :** 3





**ZPS**

Computer Systems & Engineering

